

# **Desenvolvimento de Metodologias em Análise de Dados no Estudo de Detectores e Fontes de Ondas Gravitacionais**

Cesar Costa

Supervisor: Odylio Denys Aguiar

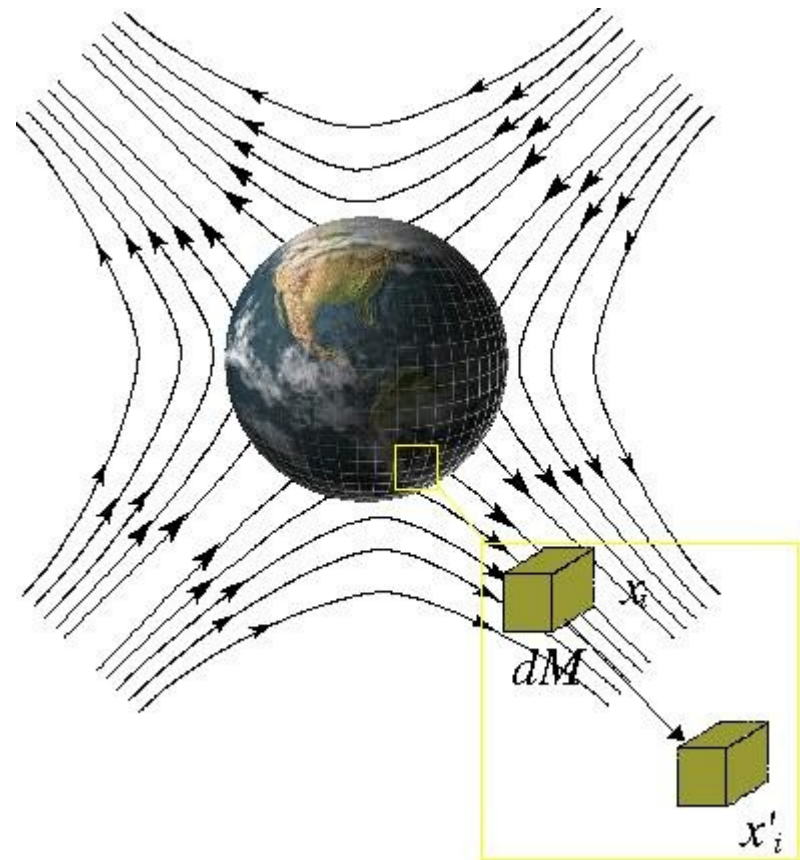
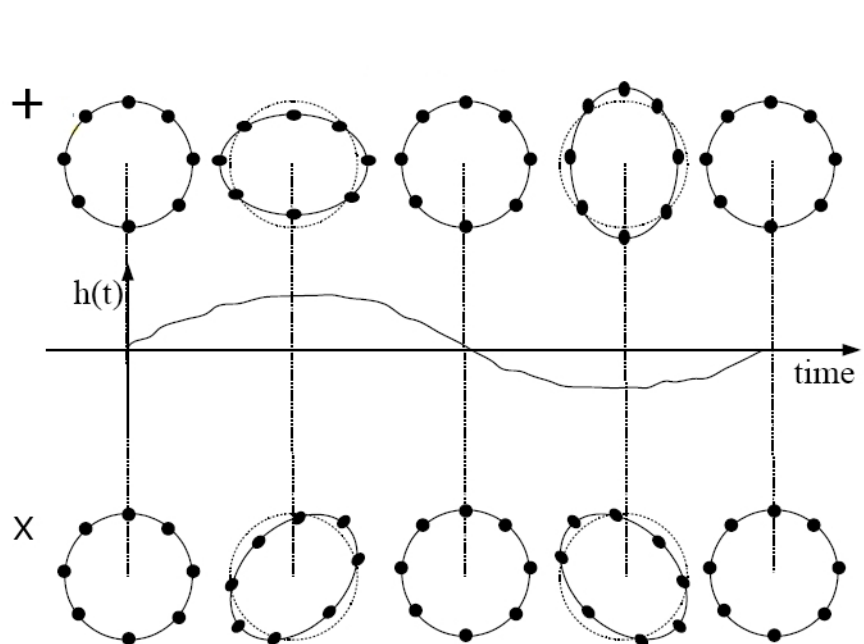
**PCI/MCTI/INPE**  
**VII Workshop PG-DAS**  
**Abril, 2014**

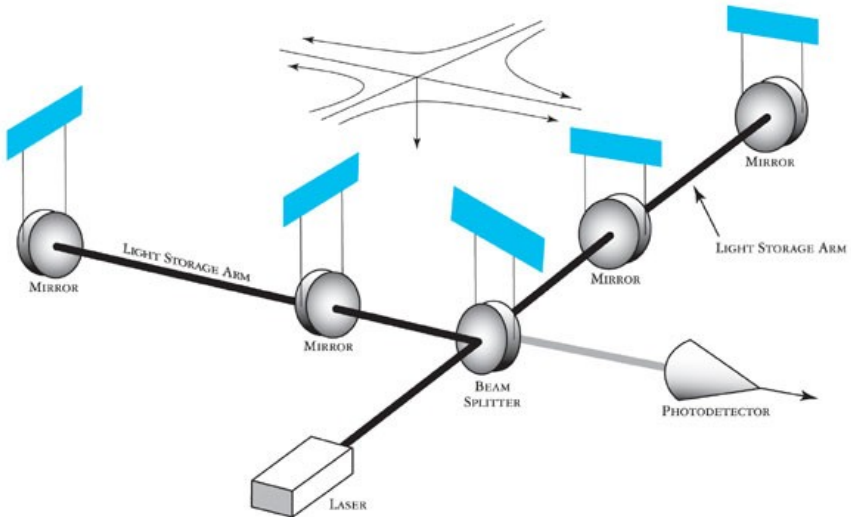
- Histórico

- Mestrado e Doutorado em Astrofísica – DAS/INPE
  - Modelagem matemática do detector de ondas gravitacionais Mario Schenberg
  - Resposta do detector a fontes astrofísicas
- Pós-Doutorado USP (FAPESP)
  - Implementação do sistema de aquisição de dados
- Pós-Doutorado LSU-LIGO (NSF)
  - Caracterização instrumental e ambiental do LIGO (Data Quality)
  - Desenvolvimento pipeline para análise de canais auxiliares
- Bolsa PQ-DA (INPE-CNPQ)

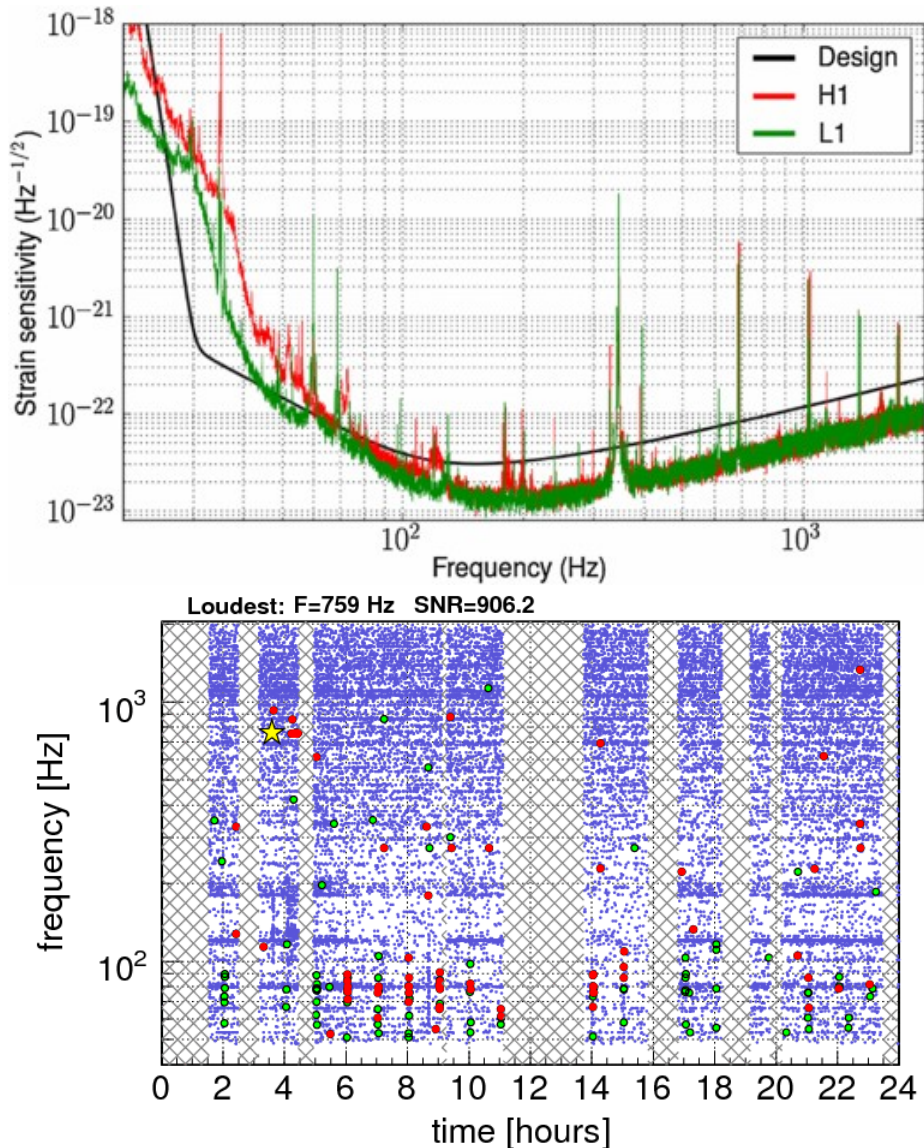
- Colaborações:

- LSU, UTB, UNIFEI, JPL/NASA





- Laser Interferometric Gravitational Wave Observatory (LIGO)
- Dois detectores (Hanford, WA, and Livingston, LA)
- Interferômetro Michelson com braços de 4km
- Cavidades Fabry-Pérot armazena ~1kW
- Construído para ser um referencial inercial na Terra.



## • Curva de Sensibilidade

- Espectro Estacionário
- Física conhecida
- Sísmico, gás residual, ruído térmico, “shot noise”, etc

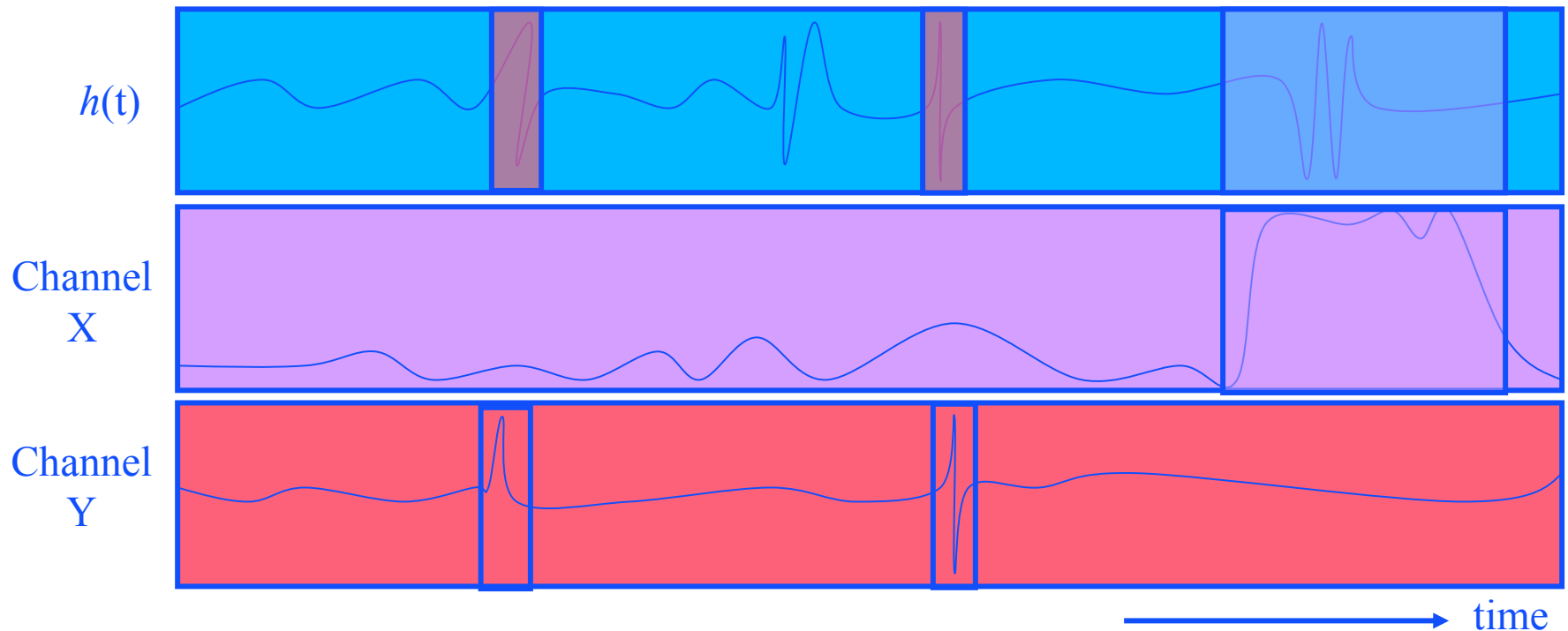
## • Transientes (Glitches)

- Transientes não-gaussianos
- Devido a efeitos de origem instrumental ou ambiental
- Efeitos indesejáveis na sensibilidade do instrumento



## Qualidade de dados (Data Quality)

- Compara  $h(t)$  (ou, DARM\_ERR) com canais auxiliares.
  - Coincidências temporais apontam para prováveis culpados
- “Data quality flags” isolam alguns tempos de mal comportamento.



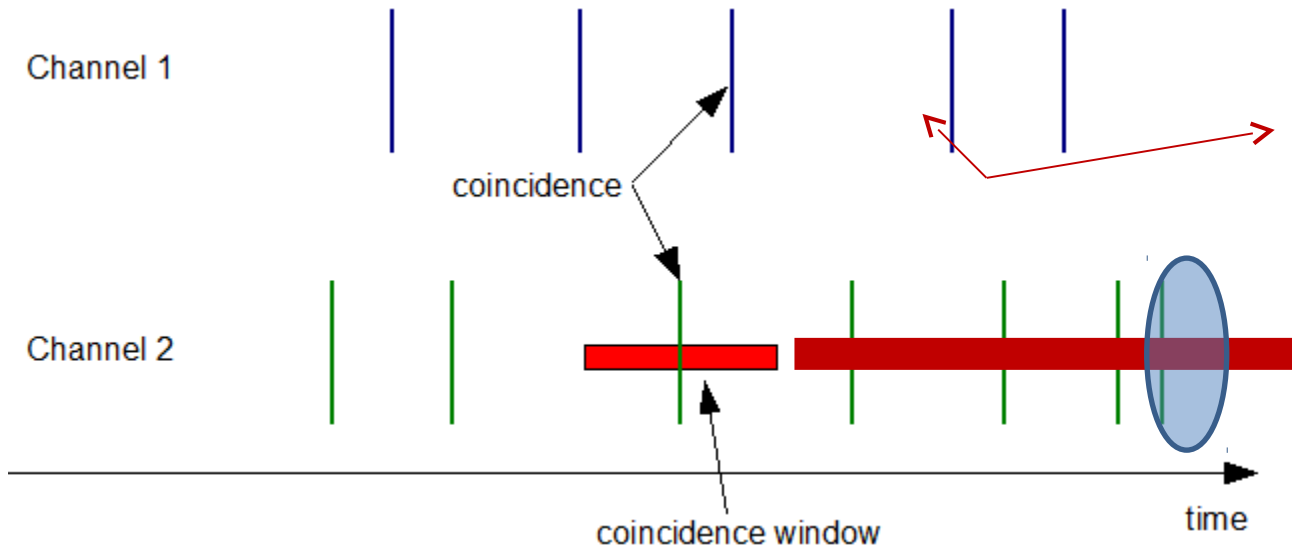
Cumprir as expectativas relatadas no White Paper do LIGO

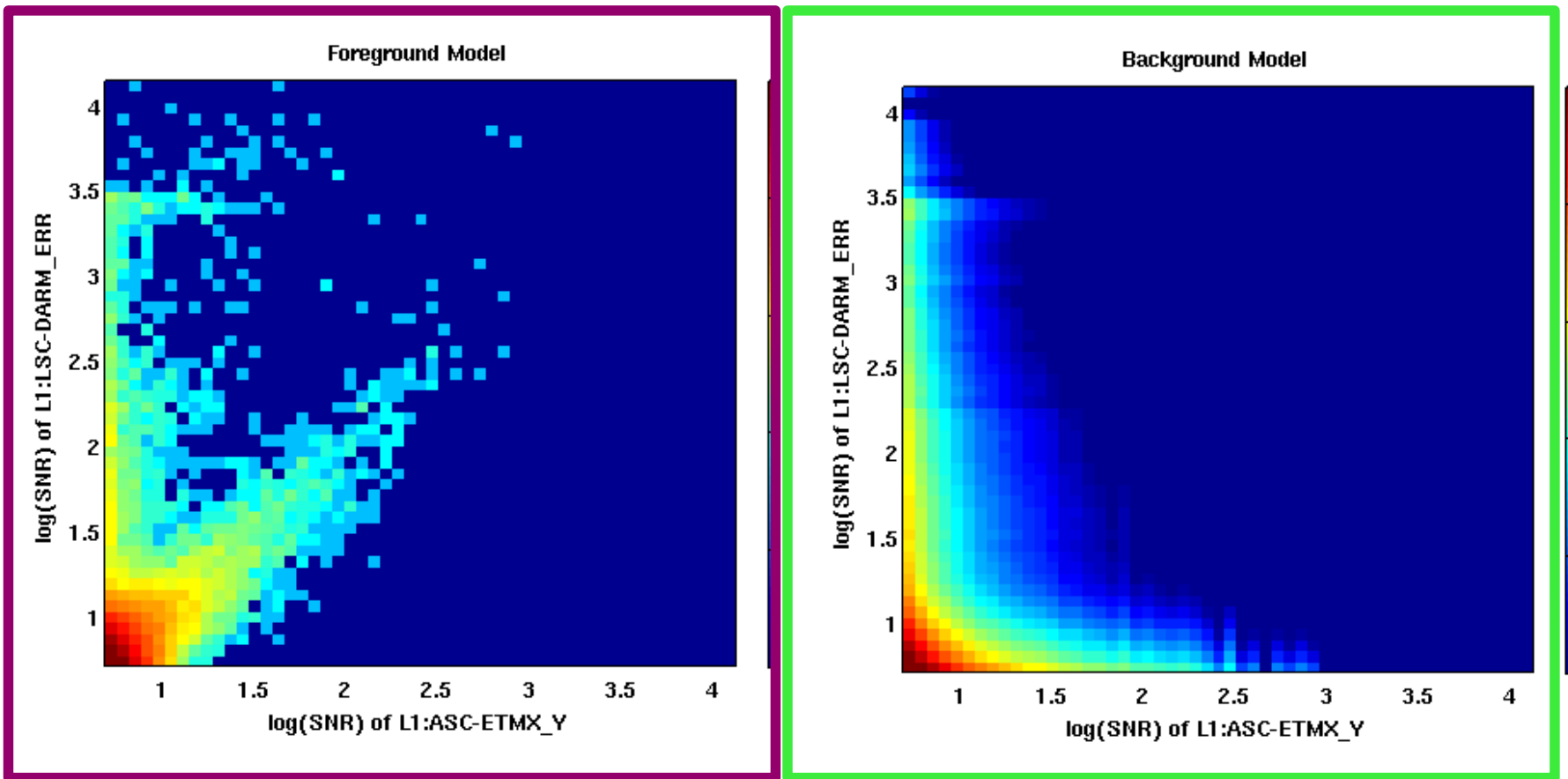
- Objetivos para Busca por Sinais
  - Integrar informação de DQ information into search
  - “limpar 99% dos transientes de detector isolados”
- Objetivos Instrumentais
  - Identificar acoplamentos e propriedades
    - Melhorar a informação passada aos instrumentalistas
  - Identificação de rápida problemas

Colaboração: Dra. Cristina Torres (UTB), LSU, LSC

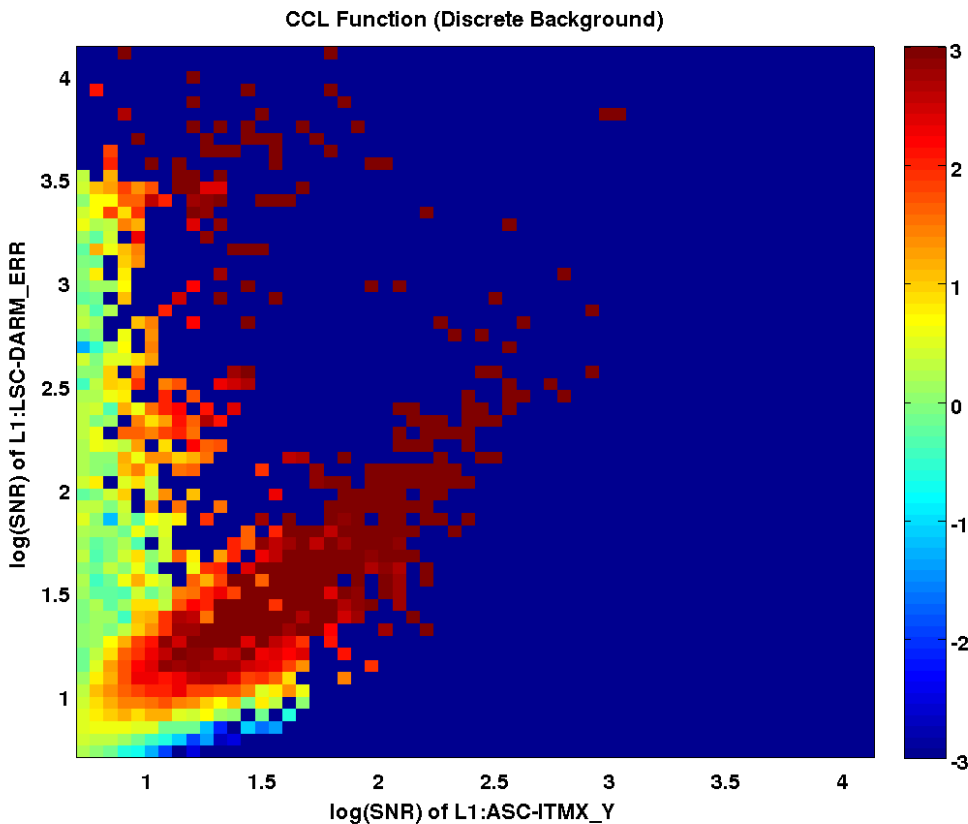
Dois coleções de transientes com respectivas características  
(gpstime, amplitude, snr, frequency band, duration, etc)

$$Y = y_1, y_2, \dots, y_n \quad X = x_1, x_2, \dots, x_n$$

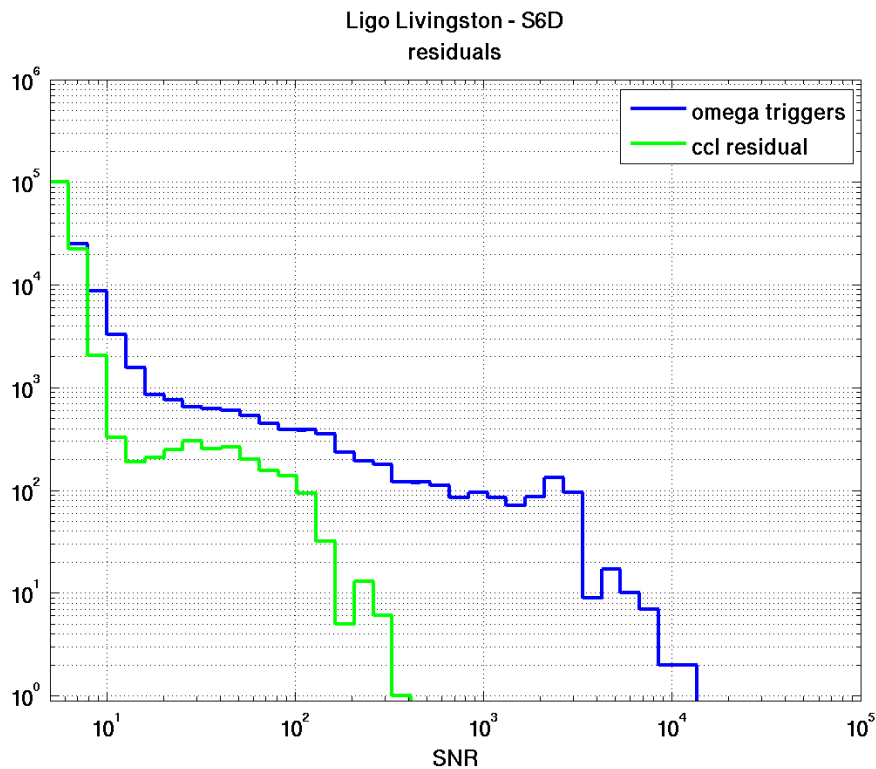




$$CCL = 2 \log \left( \frac{P(Y \cap X, \theta_f)}{P(Y \cap X, \theta_b)} \frac{P(X, \theta_b)}{P(X, \theta_f)} \right)$$

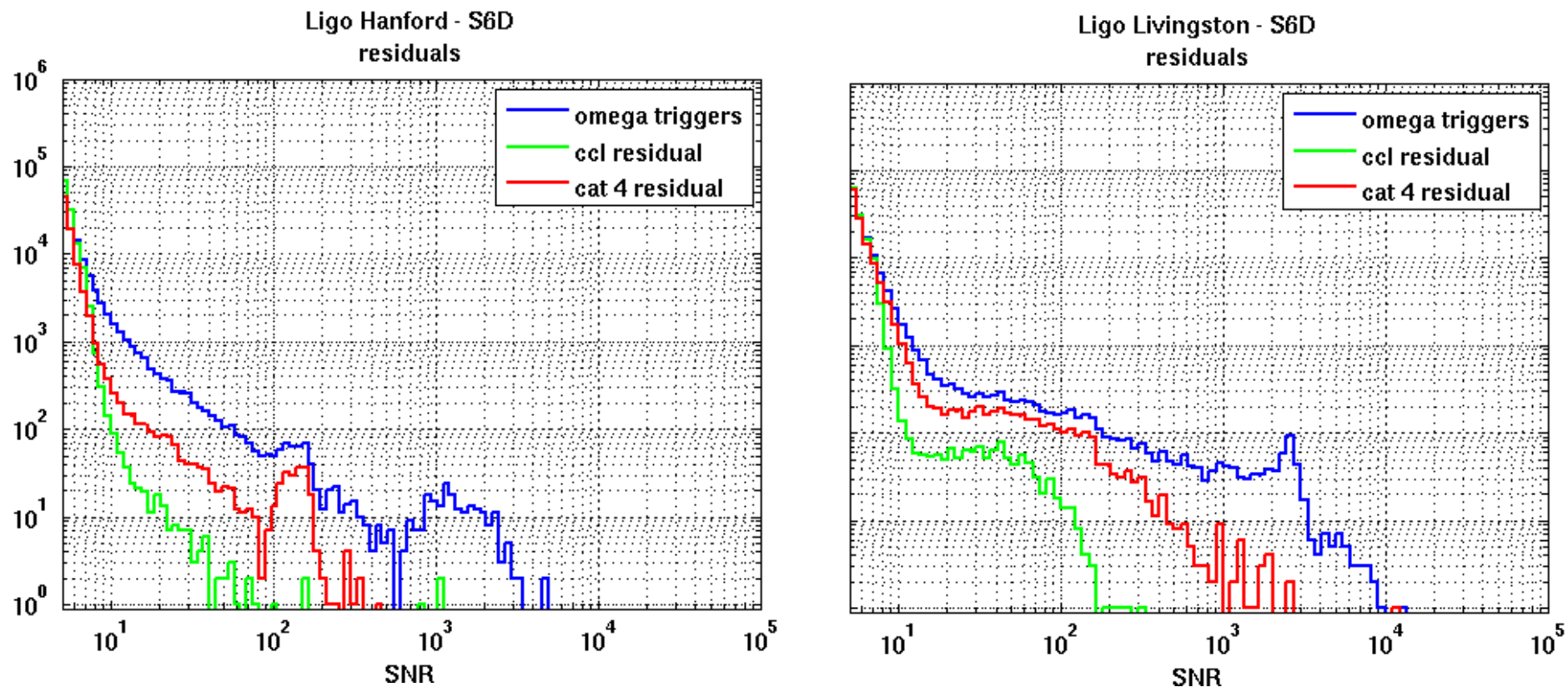


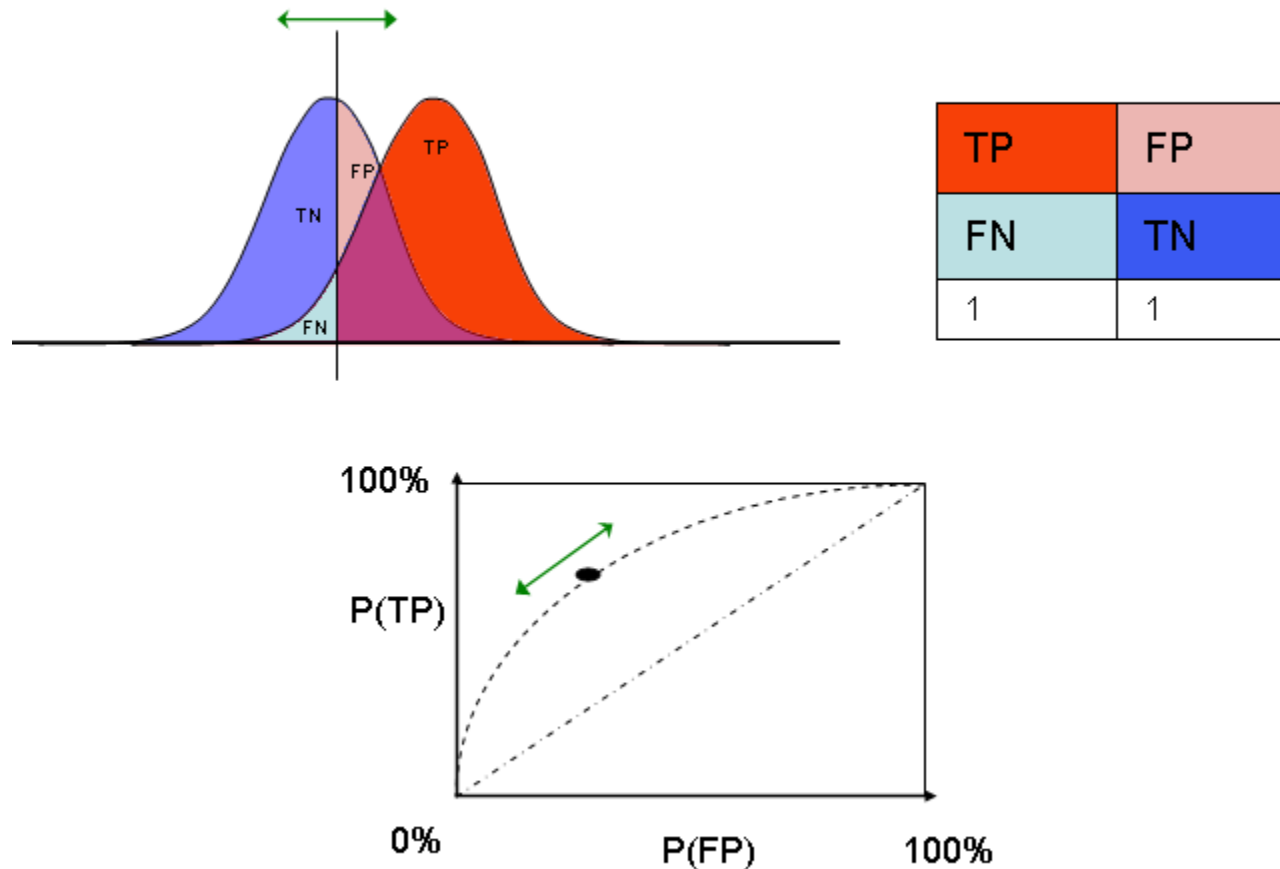
- Teste de Verossemelhança
  - H1: coincidência temporal real
  - H0: coincidência temporal acidental
- Construção dos modelos
  - **Foreground**
  - **Background**
- Região **Critica**  $CCL > 1$  define como X (canal aux. ) é mapeado em Y (DARM\_ERR)
  - Pares de transientes dentro desta região tem alta probabilidade de estarem relacionados (**acoplados**)

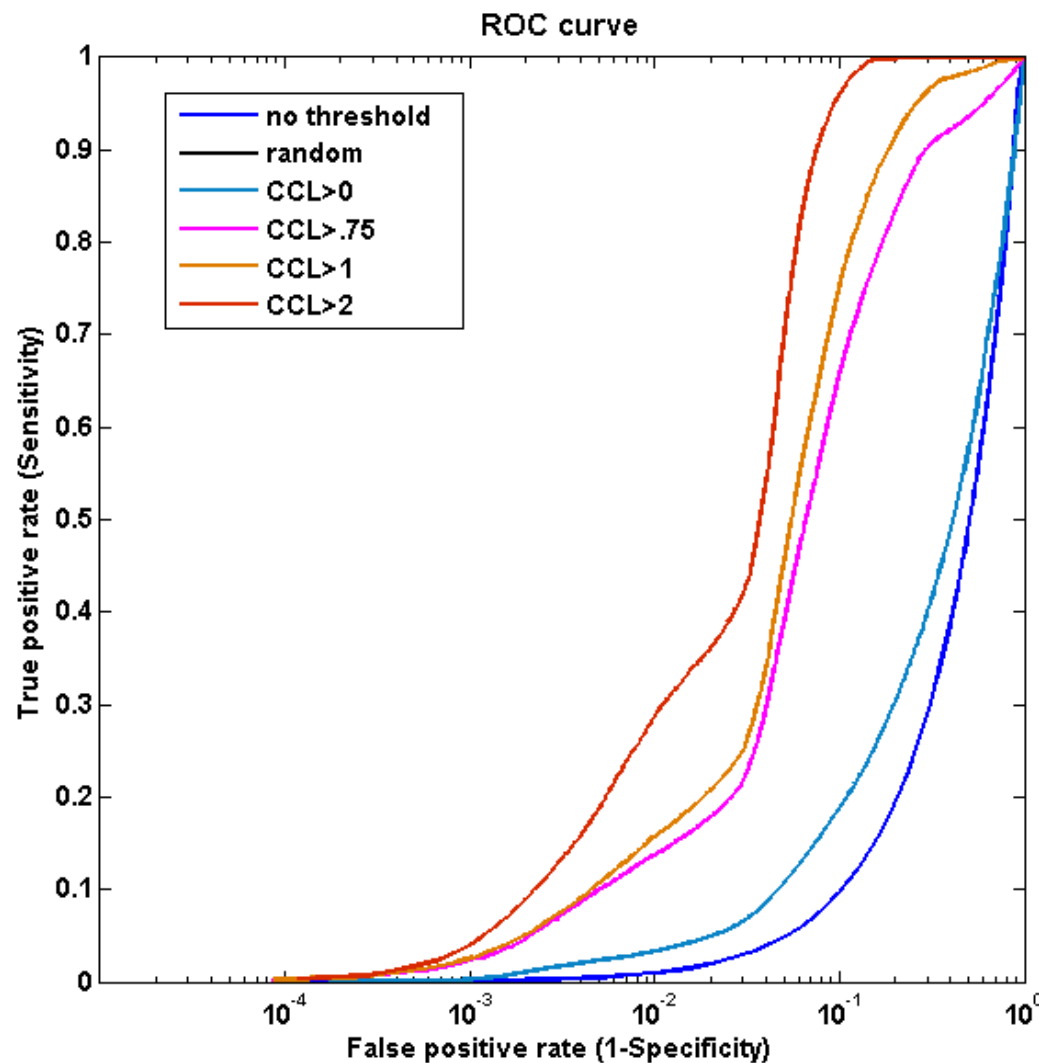


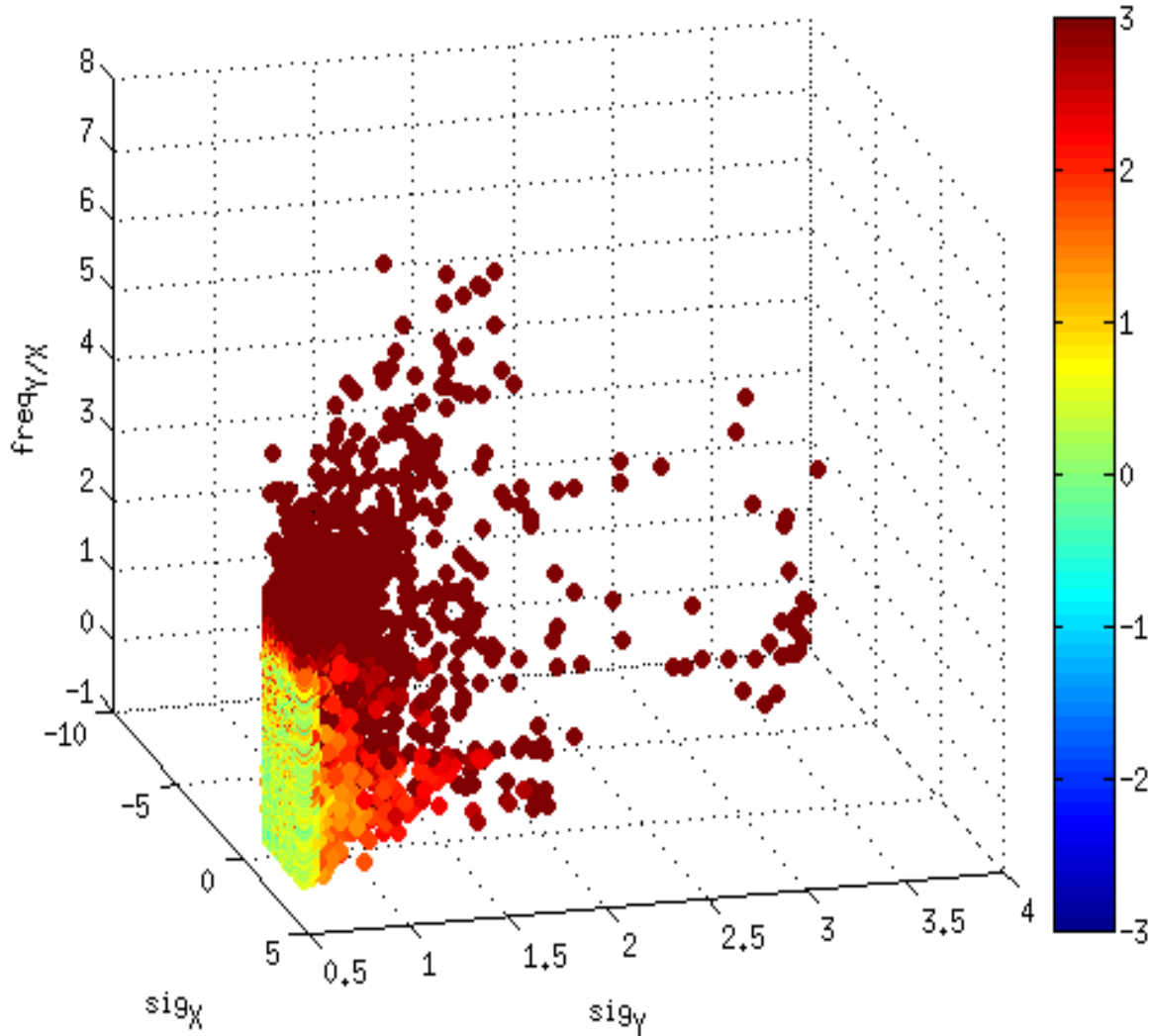
- Desempenho
  - Deadtime: 13.9%
    - Limite superior
  - SNR>8 : ~ 85%

Livingston	CCL > 1
SNR (>)	%
5	14.44%
8	84.26%
10	88.83%
20	86.77%
50	92.42%
100	98.00%

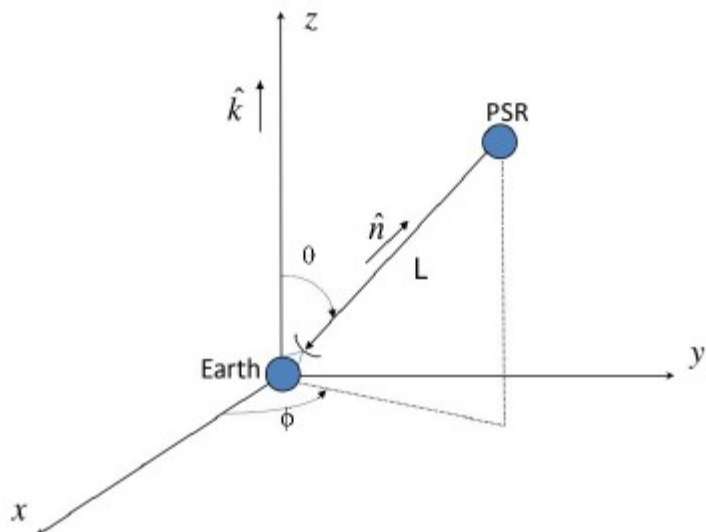




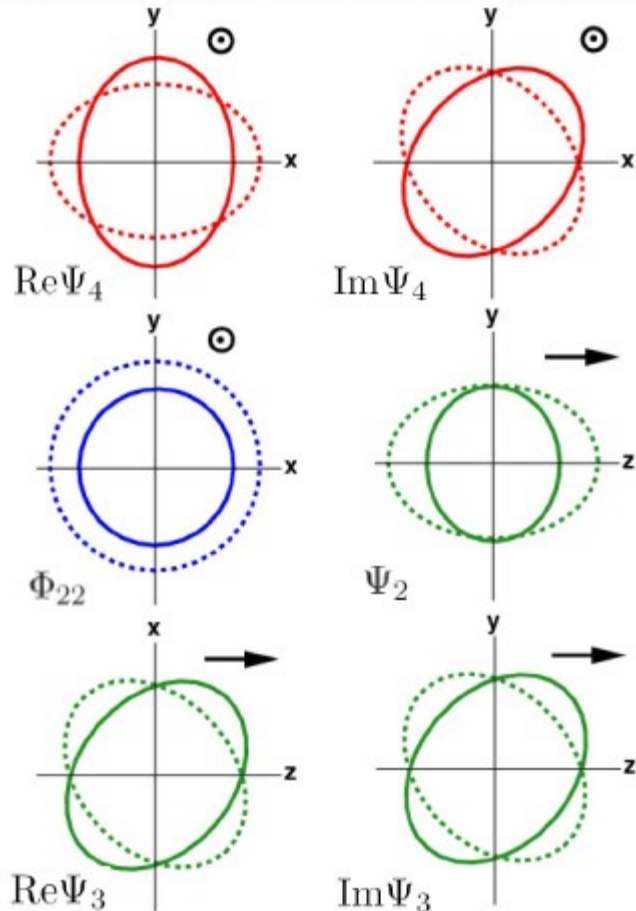


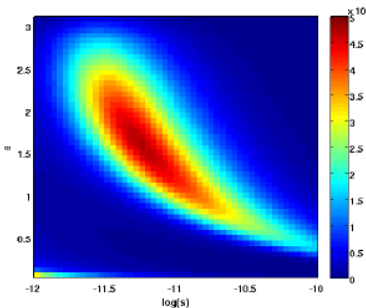
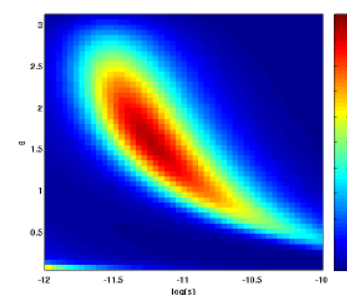
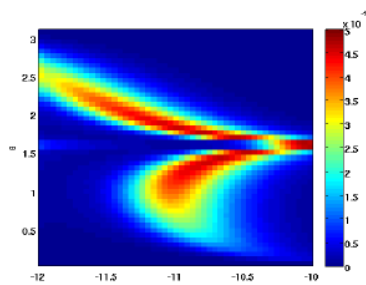
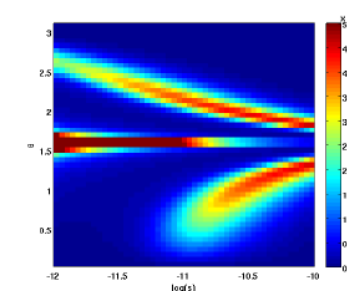


- Colaboração
  - Márcio Alves (Unifei)
  - Massimo Tinto (JPL/NASA)



### Gravitational-Wave Polarization



**Figure:** Modos tensoriais.**Figure:** Modo escalar-transverso.**Figure:** Modos vetoriais.**Figure:** Modo escalar-longitudinal.

$$\begin{aligned}
 P(D|H_r, \theta, \phi, \{s\}, \sigma) &\approx \{\det[\mathbb{I} - \mathbb{K}(\{\hat{\omega}\})]\}^{\frac{1}{2}} \frac{\Gamma(\frac{M}{2})}{2 \ln(R_\gamma)} \left(\pi M \overline{\omega^2}\right)^{-\frac{M}{2}} \\
 &\times (2\pi\sigma^2)^{-\frac{(N-M)}{2}} [\det(\mathbb{B})]^{-\frac{1}{2}} \exp\left[-\frac{N\overline{d^2} - 2n\overline{q^2}(\{\hat{\omega}\})}{2\sigma^2}\right]
 \end{aligned}$$

- COSTA, C.F.S ; COSTA, C. A. ; AGUIAR, O. D . Low-latency data analysis for the spherical detector Mario Schenberg. Classical and Quantum Gravity (Print), v. 31, p. 085012, 2014.
- AASI, J. , et al. COSTA, C. A.; FIRST SEARCHES FOR OPTICAL COUNTERPARTS TO GRAVITATIONAL-WAVE CANDIDATE EVENTS. The Astrophysical Journal. Supplement Series, v. 211, p. 7, 2014.
- AASI, J. , et al. COSTA, C. A.; Search for gravitational waves from binary black hole inspiral, merger, and ringdown in LIGO-Virgo data from 2009 2010. Physical Review. D. Particles, Fields, Gravitation, and Cosmology), v. 87, p. 022002, 2013.
- Aasi, J ; et al ; Costa, C A . Einstein@Home all-sky search for periodic gravitational waves in LIGO S5 data. Physical Review. D. Particles, Fields, Gravitation, and Cosmology (Online), v. 87, p. 042001, 2013.
- ADRIÁN-MARTÍNEZ, et al. COSTA, C. A.; A first search for coincident gravitational waves and high energy neutrinos using LIGO, Virgo and ANTARES data from 2007. Journal of Cosmology and Astroparticle Physics, v. 2013, p. 008-008, 2013.
- AASI, J. , et al. COSTA, C. A. ; Enhanced sensitivity of the LIGO gravitational wave detector by using squeezed states of light. Nature Photonics (Print), v. 7, p. 613-619, 2013.
- AASI, J. , et al. COSTA, C. A. ; Parameter estimation for compact binary coalescence signals with the first generation gravitational-wave detector network. Physical Review. D, Particles, Fields, Gravitation, and Cosmology, v. 88, p. 062001, 2013.
- Abadie, J. ; et al ; COSTA, C. A. . Implementation and testing of the first prompt search for gravitational wave transients with electromagnetic counterparts. Astronomy & Astrophysics, p. A124, 2012.
- Aasi, J ; et al ; COSTA, C. A. . The characterization of Virgo data and its impact on gravitational-wave searches. Classical and Quantum Gravity (Print), v. 29, p. 155002, 2012.
- Costa, Cesar A ; Torres, Cristina V . The critical coupling likelihood method: a new approach for seamless integration of environmental and operating conditions of gravitational wave detectors into gravitational wave searches. Classical and Quantum Gravity, v. 29, p. 205018, 2012.
- Aguiar, O D et al. COSTA, C. A.; Status Report of the Schenberg Gravitational Wave Antenna. Journal of Physics. Conference Series, v. 363, p. 012003, 2012.